

# РАСЧЕТ СЕЧЕНИЯ РЕАКЦИИ ПЕРЕЗАРЯДКИ ПРИ СТОЛКНОВЕНИИ ФУЛЛЕРЕНОВ

Г. С. Ирошников\*

Московский физико-технический институт (государственный университет)  
141700, Долгопрудный, Московская обл., Россия

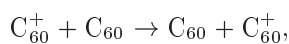
Поступила в редакцию 19 июня 2006 г.

На основе инстантонного приближения к туннельному расщеплению уровней энергии выводится формула для сечения перезарядки при столкновении фуллеренов. Полученная формула, справедливая в адиабатическом приближении, хорошо описывает известные экспериментальные данные.

PACS: 71.20.Tx

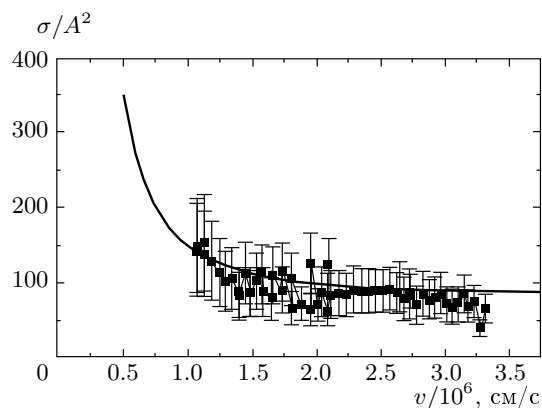
## 1. ВВЕДЕНИЕ

В последние годы интенсивно изучаются различные свойства фуллеренов, в том числе реакция перезарядки



см. [1–4]. В интервале энергий от 0.2 до 2.1 кэВ в системе центра масс (что соответствует относительным скоростям столкновения, лежащим в интервале  $(1\text{--}3.5) \cdot 10^6$  см/с) наблюдается рост сечения перезарядки при уменьшении скорости  $v$ . Простые модели [3–5], применявшиеся ранее при расчетах этого сечения, не приводят к достаточно хорошему описанию экспериментально измеренной зависимости сечения от скорости столкновения.

Целью данной работы является теоретический расчет сечения  $\sigma(v)$ , достаточно хорошо согласующийся с экспериментальными данными, представленными на рисунке. Наиболее важным для нас будет наблюдение того, что эффективный потенциал для  $\pi$ -электрона, переходящего в процессе столкновения с поверхности одной сферы  $C_{60}$  на поверхность второй сферы, может рассматриваться как симметричный двухъямный потенциал с барьером конечной высоты, зависящим от расстояния  $R(t)$  между центрами обеих сфер [2]. Второе важное об-



Сечение реакции перезарядки (20) как функция относительной скорости столкновения фуллеренов и соответствующие экспериментальные данные из работы [1]

стоятельство связано с тем, что характерные относительные орбитальные моменты

$$l = \frac{Mvb}{\hbar}$$

для указанного интервала скоростей оказываются велики [2],  $l \gg 1$ , в силу большой приведенной массы  $M$ , что позволяет заменить сумму по  $l = kb$  на интеграл по прицельному параметру  $b$ . Поскольку в условиях эксперимента скорость столкновения мала по сравнению с атомной, эффективный потенциал можно рассматривать как медленно меняющийся со

\*E-mail: irosh@orc.ru

временем, т. е. использовать адиабатическое приближение.

## 2. РАСЧЕТ СЕЧЕНИЯ ПЕРЕЗАРЯДКИ

Для рассматриваемого процесса существенны периферические взаимодействия без фрагментации фуллеренов, что соответствует прицельным параметрам  $b \geq 2\rho$ , где  $\rho$  — радиус сферы  $C_{60}$ . Будем исходить из общей формулы для сечения неупругого канала:

$$\begin{aligned} \sigma &= \frac{\pi}{k^2} \sum_l (2l+1) |S_{if}(l)|^2 \approx \\ &\approx \frac{\pi}{k^2} \int_{l_{min}}^{\infty} 2l dl |S_{if}(l)|^2 = 2\pi \int_{b_{min}=2\rho}^{\infty} b db W(b), \end{aligned} \quad (1)$$

где

$$W(b) = |S_{if}(l = kb)|^2$$

— вероятность процесса перезарядки. Для медленно меняющегося потенциала применима известная формула для вероятности перезарядки [6, 7]

$$W(b) = \left| \sin \left\{ \int_{-\infty}^{\infty} dt \frac{\Delta E(b, t)}{2\hbar} \right\} \right|^2. \quad (2)$$

Здесь

$$\Delta E = E_- - E_+ = \Delta E(R(t), b)$$

— разность энергий четной и нечетной волновых функций частицы в двухъямном потенциале  $V(R(t))$ , где  $R(t)$  — расстояние между центрами сфер  $C_{60}$ , причем

$$R^2(t) = b^2 + (vt)^2. \quad (3)$$

Для малых  $b$ , когда эффективное расстояние между ямами мало и барьер невелик, мы имеем в основном большое расщепление уровней  $\Delta E$ .

Если

$$\frac{\Delta ET}{2\hbar} \gg 1,$$

где

$$T(E) = \frac{2\pi}{\omega(E)}$$

— период движения частицы в изолированной яме, то интеграл

$$\int_{-\infty}^t dt \frac{\Delta E}{2\hbar}$$

сильно меняется при изменении  $t$ , поэтому при  $b$ , меньших некоторого  $b_0$ ,

$$\left| \sin \left( \int_{-\infty}^{\infty} dt \frac{\Delta E}{2\hbar} \right) \right|^2 \approx \frac{1}{2}, \quad (4)$$

$$W(b) = 1/2 \quad \text{при} \quad 2\rho \leq b \leq b_0. \quad (5)$$

В результате искомое сечение можно представить в виде

$$\sigma = \pi \int_{2\rho}^{b_0} b db + 2\pi \int_{b_0}^{\infty} b db W(b) \equiv \sigma_1 + \sigma_2, \quad (6)$$

где

$$\sigma_1 = \frac{\pi}{2} [b_0^2 - (2\rho)^2]. \quad (7)$$

Заметим, что выражение для константы  $\sigma_1$  имеет такую же структуру, как получающиеся в результате оценок сечения, проведенных в работах [3, 4] на основе простых моделей.

Теперь вычислим  $\sigma_2$ . Будем считать, что для  $b > b_0$  эффективный барьер между ямами малопроницаем, что позволяет применить квазиклассическое приближение для расчета расщепления уровней  $\Delta E(R(t), b)$ . Для наших целей для определения величины  $\Delta E$  наиболее удобно воспользоваться инстантонным приближением, которое имеет ряд преимуществ по сравнению со стандартным ВКБ-приближением (по этому поводу см. [8, 9], а также приведенные там ссылки на более ранние работы). В этом приближении величина туннельного расщепления уровней энергии дается в замкнутом виде для произвольного двухъямного потенциала. Особенно простое выражение возникает для модельного потенциала вида

$$V(x) = \frac{m\omega^2(x^2 - a^2)^2}{8a^2}. \quad (8)$$

Тогда, согласно работам [9, 10], расщепление  $n$ -го уровня имеет вид

$$\Delta E_n = \frac{\hbar\omega 2^{n+1}}{\sqrt{\pi} n!} \left( \frac{2a}{\lambda} \right)^{2n+1} \exp \left( -\frac{2}{3} \left( \frac{a}{\lambda} \right)^2 \right), \quad (9)$$

где  $\lambda = \sqrt{\hbar/m\omega}$  — масштаб квантовых флуктуаций частицы массы  $m$  в одной изолированной яме. (В работе [9] были вычислены также ангармонические поправки, пропорциональные  $\hbar^2$ . Здесь мы не будем их учитывать.) Высота барьера между ямами

$$h = V(x=0) = \frac{m\omega^2 a^2}{8} \quad (10)$$

убывает с уменьшением расстояния между ямами (равного  $2a$ ), как и должно быть для реального потенциала. Конечно, реальный потенциал должен выходить на константу при  $|x| \gg a$ , что не выполняется для потенциала вида (8). Однако для процесса перехода частицы из одной ямы в другую важен барьер, разделяющий эти ямы, т. е. область  $-a \leq x \leq a$ , а не  $|x| \gg a$ . Поэтому мы считаем разумным использование в дальнейшем потенциала (8).

Для основного уровня ( $n = 0$ ) имеем из (9)

$$\Delta E = 2 \frac{\hbar\omega}{\sqrt{\pi}} \left( \frac{2a}{\lambda} \right) \exp \left( -\frac{1}{6} \left( \frac{2a}{\lambda} \right)^2 \right). \quad (11)$$

Применительно к нашей задаче, где расстояние между ямами равно

$$2a(t) = R(t) - 2\rho, \quad R(t) = (b^2 + (vt)^2)^{t/2}, \quad (12)$$

получаем

$$\Delta E(b, t) = \frac{2\hbar\omega}{\sqrt{\pi}\lambda} \left[ \sqrt{b^2 + (vt)^2} - 2\rho \right] \times \exp \left\{ -\frac{1}{6\lambda^2} \left[ \sqrt{b^2 + (vt)^2} - 2\rho \right]^2 \right\}. \quad (13)$$

В области  $b \gg 2\rho$  выражение (13) можно упростить, записав

$$\Delta E(b, t) = \frac{2\hbar\omega}{\sqrt{\pi}\lambda} R(t) \exp \left( -\frac{R^2(t)}{6\lambda^2} \right) \equiv \Delta E(R(t)). \quad (14)$$

Используя формулу (2) для вероятности перехода  $W(b)$ , получаем

$$\frac{1}{2\hbar} \int_{-\infty}^{\infty} dt \Delta E(R(t)) = \frac{\omega}{\sqrt{\pi}\lambda} \exp \left( -\frac{b^2}{6\lambda^2} \right) \times \int_{-\infty}^{\infty} dt \sqrt{b^2 + (vt)^2} \exp \left( -\frac{(vt)^2}{6\lambda^2} \right). \quad (15)$$

Применяя метод перевала, получаем

$$\frac{1}{2\hbar} \int_{-\infty}^{\infty} dt \Delta E(R(t)) \approx \sqrt{6} \left( \frac{\omega}{v} \right) \left( b + \frac{3\lambda^2}{2b} \right) \exp \left( -\frac{b^2}{6\lambda^2} \right) \equiv F(b), \quad (16)$$

причем для применимости инстантонного приближения необходимо, чтобы выполнялось условие

$b^2 \gg \lambda^2$ . Для достаточно больших  $b^2$  в формуле (2) можно положить

$$W(b) = |\sin F(b)|^2 \approx |F(b)|^2,$$

что дает в главном порядке по  $b^2/\lambda^2$

$$W(b) = \frac{6\omega^2}{v^2} (b^2 + 3\lambda^2) \exp \left( -\frac{b^2}{3\lambda^2} \right). \quad (17)$$

Отсюда получаем

$$\sigma_2 = 2\pi \int_{b_0}^{\infty} b db W(b) = 18\pi \left( \frac{\omega\lambda}{v} \right)^2 (b_0^2 + 6\lambda^2) \exp \left( -\frac{b_0^2}{3\lambda^2} \right), \quad (18)$$

где также должно выполняться условие  $b_0^2 \gg \lambda^2$ .

Для последующей численной оценки величины (18) удобно переписать множитель  $\omega\lambda/v$  в виде

$$\frac{\omega\lambda}{v} = \left( \frac{\Lambda}{\lambda} \right) \left( \frac{c}{v} \right), \quad (19)$$

где  $\Lambda = \hbar/mc \approx 4 \cdot 10^{-3} \text{ \AA}$  — комптоновская длина волны электрона,  $c$  — скорость света. Окончательно для сечения перезарядки получаем выражение

$$\sigma(v) = \frac{\pi}{2} [b_0^2 - (2\rho)^2] + 18\pi\Lambda^2 \left( \frac{c}{v} \right)^2 \times \left( \frac{b_0^2}{\lambda^2} + 6 \right) \exp \left( -\frac{b_0^2}{3\lambda^2} \right) \equiv \sigma_1 + \sigma_2, \quad (20)$$

где экспериментальное значение радиуса сферы  $S_{60}$  равно  $\rho = 4.3 \text{ \AA}$ .

В процессе нашего расчета использовался модельный потенциал, который содержал два свободных параметра:  $\omega$  и  $a$ . В формуле (20) им соответствуют параметры  $b_0$  и  $\lambda$ , которые могут быть определены из экспериментальных данных работы [1]:

$$\sigma(v = 1 \cdot 10^6 \text{ см/с}) = (150 \pm 70) \text{ \AA},$$

$$\sigma(v = 3 \cdot 10^6 \text{ см/с}) = (90 \pm 30) \text{ \AA}.$$

Приравнивая  $\sigma(v)$  (20) этим двум значениям, находим следующие величины:

$$b_0 = 11.25 \text{ \AA}, \quad \lambda = 1.79 \text{ \AA}, \quad (21)$$

откуда

$$\varepsilon = \frac{\hbar\omega}{2} = \frac{\hbar^2}{2m\lambda^2} = 1.24 \text{ эВ}, \quad \sigma_1 = 82.5 \text{ \AA}^2.$$

Отметим, что значения параметров (21) выглядят вполне естественно для молекулярной системы  $C_{60}$ . Отсюда, в частности, следует, что в условиях нашей задачи параметр адиабатичности

$$\zeta = \frac{v_0}{v} \approx \frac{\omega\lambda}{v} = \left(\frac{\Lambda}{\lambda}\right) \left(\frac{c}{v}\right) \gg 1.$$

Здесь  $v_0 \approx \omega\lambda$  — характерная скорость колебаний частицы в изолированной яме. Это означает, что поскольку  $v \ll v_0$ , эффективный потенциал медленно меняется за период колебания  $T$ , что дополнительно подтверждает справедливость использованного выше адиабатического приближения.

Как видно из рисунка, полученная теоретическая кривая для  $\sigma(v)$  (20) хорошо согласуется с экспериментальными данными.

Согласно формуле (6) параметр  $b_0$  играет роль границы между следующими двумя режимами:

1) прицельным параметрам, лежащим в интервале  $2\rho \leq b \leq b_0$ , соответствуют быстрые осцилляции, где  $W(b) \approx 1/2$ ;

2) для прицельных параметров, лежащих в интервале  $b_0 \leq b \leq \infty$ , характерны медленные переходы электрона из одной ямы в другую.

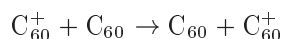
Действуя согласно формуле (6), мы пренебрегаем вкладом промежуточного режима, где  $\Delta ET/2\hbar \approx 1$ . Однако можно проверить, что для нашего граничного значения  $b = b_0 = 11.25 \text{ \AA}$  и  $v = 1.5 \cdot 10^6 \text{ см/с}$ , например, для величины  $F(b)$  (16) имеет место следующее соотношение:

$$F(b)^2 \approx 0.6.$$

Это значение численно близко к  $W(b) \approx 0.5$  для режима быстрых осцилляций. Это указывает на то, что при  $b \rightarrow b_0$  выражение (16) частично учитывает этот промежуточный режим.

### 3. ВЫВОД

Таким образом, реакция



достаточно хорошо описывается в рамках стандартной теории перезарядки [6, 7] с подходяще подобранным двухъямным симметричным потенциалом.

Автор благодарит В. П. Крайнова за то, что он обратил его внимание на данную проблему, и за полезные обсуждения, а также М. Г. Иванова за помощь в графическом оформлении результатов работы. Работа выполнена при финансовой поддержке Минвуза РФ (грант № 120.06).

### ЛИТЕРАТУРА

1. F. Rohmund and E. Campbell, J. Phys. B: At. Mol. Opt. Phys. **30**, 5293 (1997).
2. H. Brauning, R. Travel, A. Diehl et al., Phys. Rev. Lett. **91**, 168301 (2003).
3. H. Zettergren, H. T. Schmidt, H. Cederquist et al., Phys. Rev. A **66**, 032710 (2002).
4. H. Shen, P. Hvelplund, D. Mathur et al., Phys. Rev. A **52**, 3847 (1995).
5. D. Rapp and W. E. Francis, J. Chem. Phys. **37**, 2631 (1962).
6. О. Б. Фирсов, ЖЭТФ **21**, 1001 (1951).
7. А. Б. Мигдал, В. П. Крайнов, *Приближенные методы квантовой механики*, Наука, Москва (1966).
8. Г. С. Ирошников, Л. П. Суханов, Опт. и спектр. **93**, 555 (2002).
9. Г. С. Ирошников, Л. П. Суханов, Опт. и спектр. **97**, 760 (2004).
10. U. Weiss and W. Haeffner, Phys. Rev. D **27**, 2916 (1983).